

LANCÉ

Servicio Clima Espacial

Reporte Semanal

<http://www.sciesmex.unam.mx>



ISES
International Space
Environment Service

AEM
AGENCIA ESPACIAL MEXICANA



CENAPRED
CENTRO NACIONAL DE
PREVENCIÓN DE DESASTRES

Reporte semanal: del 19 al 25 de junio de 2020

CONDICIONES DEL SOL

Regiones activas: No se registraron regiones activas.

Hoyos coronales: 2 en los polos y regiones dispersas en la parte central.

Fulguraciones solares: Se registraron fulguraciones menores, tipo A.

Se detectaron tres eyecciones de masa coronal lentas y colimadas.

En general, el Sol no mostró actividad significativa.

ESTALLIDOS DE RADIO

No se registró ningún evento con la estación CALLISTO-MEXART.

CONDICIONES DEL MEDIO INTERPLANETARIO

No se registraron regiones de interacción durante la semana.

CONDICIONES DE MAGNETÓSFERA

Índice K local: No se registraron perturbaciones significativas.

Índice Dst: No se registraron alteraciones significativas.

CONDICIONES DE LA IONOSFERA

No se observaron variaciones significativas de TEC esta semana.

CONDICIONES DE RAYOS CÓSMICOS

No se registraron eventos esta semana.

Reporte semanal: del 19 al 25 de junio de 2020

PRONÓSTICOS

Viento solar:

- Se pronostica la llegada de corrientes de viento solar promedio con velocidades entre 300 y 350 km/s.

Fulguraciones solares:

- No se esperan fulguraciones mayores a nivel C la siguiente semana.

Tormentas geomagnéticas:

- No se esperan perturbaciones geomagnéticas significativas en los próximos días.

Tormentas ionosféricas:

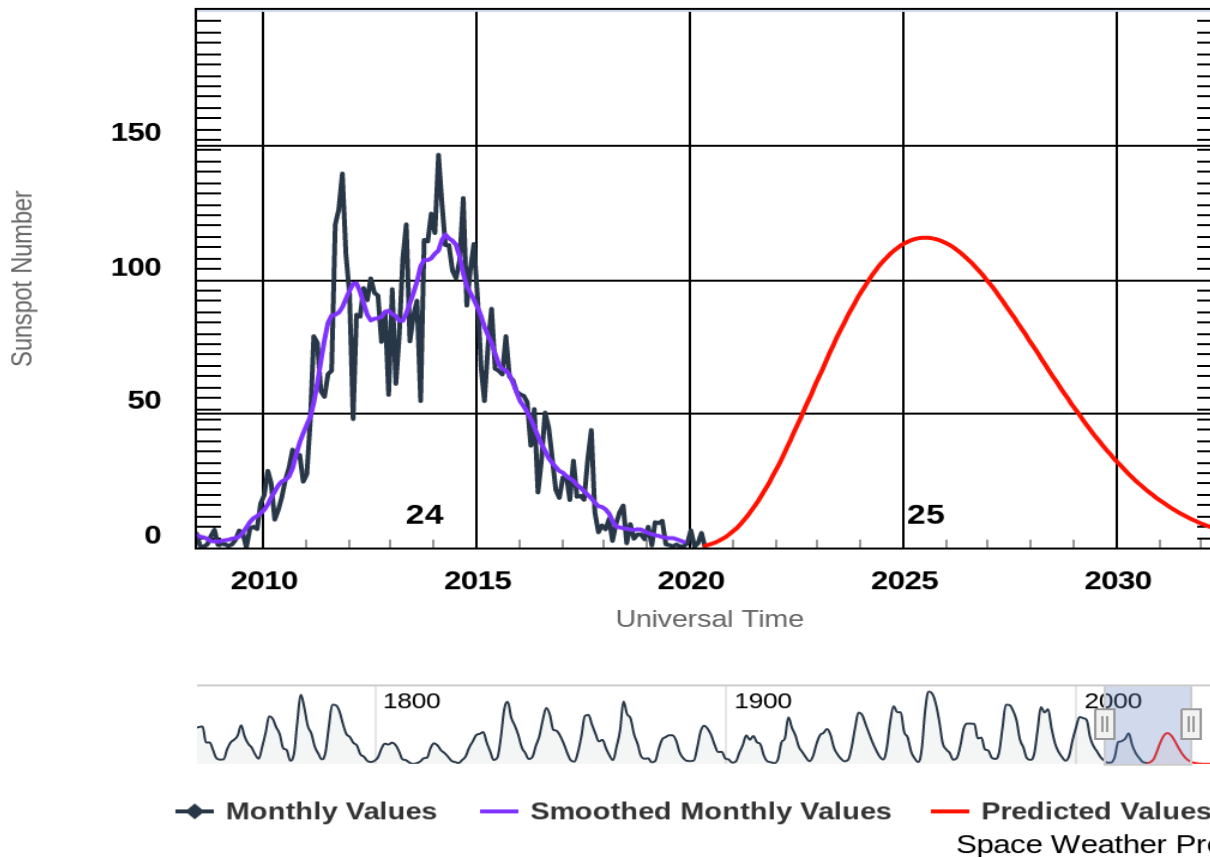
- No se esperan afectaciones ionosféricas los próximos días.

Tormentas de radiación solar:

- No se espera algún evento de partículas solares los próximos días.

Ciclo de manchas solares y la actividad solar

ISES Solar Cycle Sunspot Number Progression



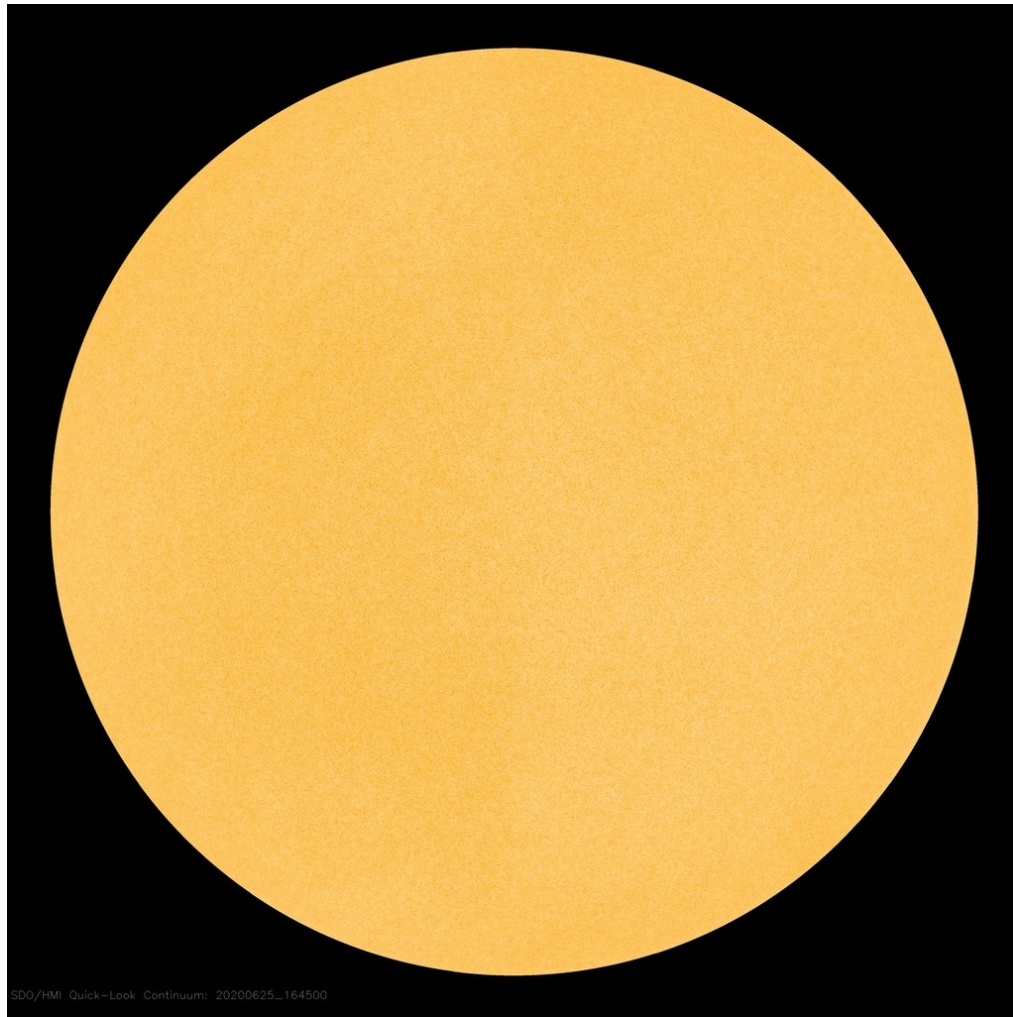
La figura muestra el conteo del número de manchas solares desde enero del 2008.

Entre más manchas solares presente el Sol, es mayor la posibilidad de que ocurra una tormenta solar.

Estamos en el mínimo de manchas solares del ciclo 24 y esperamos el inicio del ciclo solar 25.

Es una época de niveles mínimos de actividad solar.

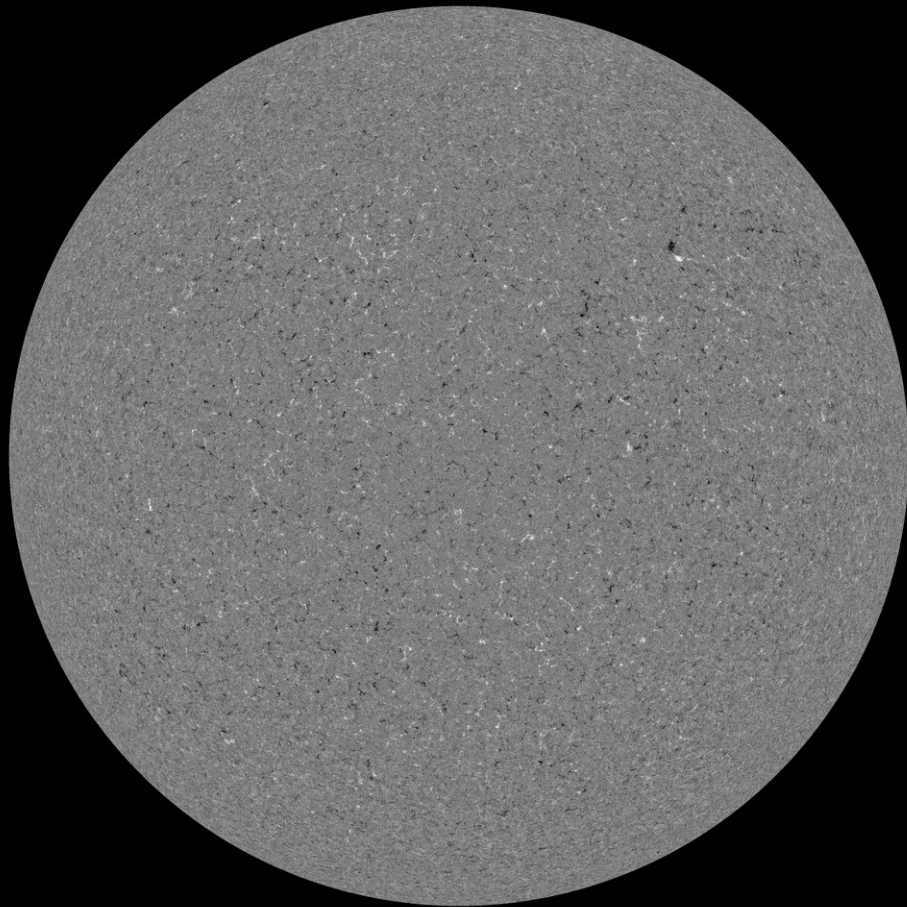
<http://www.swpc.noaa.gov/products/solar-cycle-progression>



La fotosfera es la zona “superficial” del Sol, donde aparecen las manchas solares. Regiones oscuras formadas por material más frío que sus alrededores y que contienen intensos campos magnéticos. Las manchas solares están relacionadas con la actividad solar.

La imagen reciente (25-junio-2020) de la fotosfera. No se observan manchas solares.

<https://sdo.gsfc.nasa.gov>



Un magnetograma solar permite identificar las regiones de intensos campos magnéticos solares. En general, estos campos magnéticos están asociados a manchas solares.

Las regiones de color blanco (negro) son zonas por donde salen (entran) líneas de campo magnético, correspondientes a polaridad positiva (negativa).

El Sol hoy 25-junio-2020:

El magnetograma no muestra regiones activas.

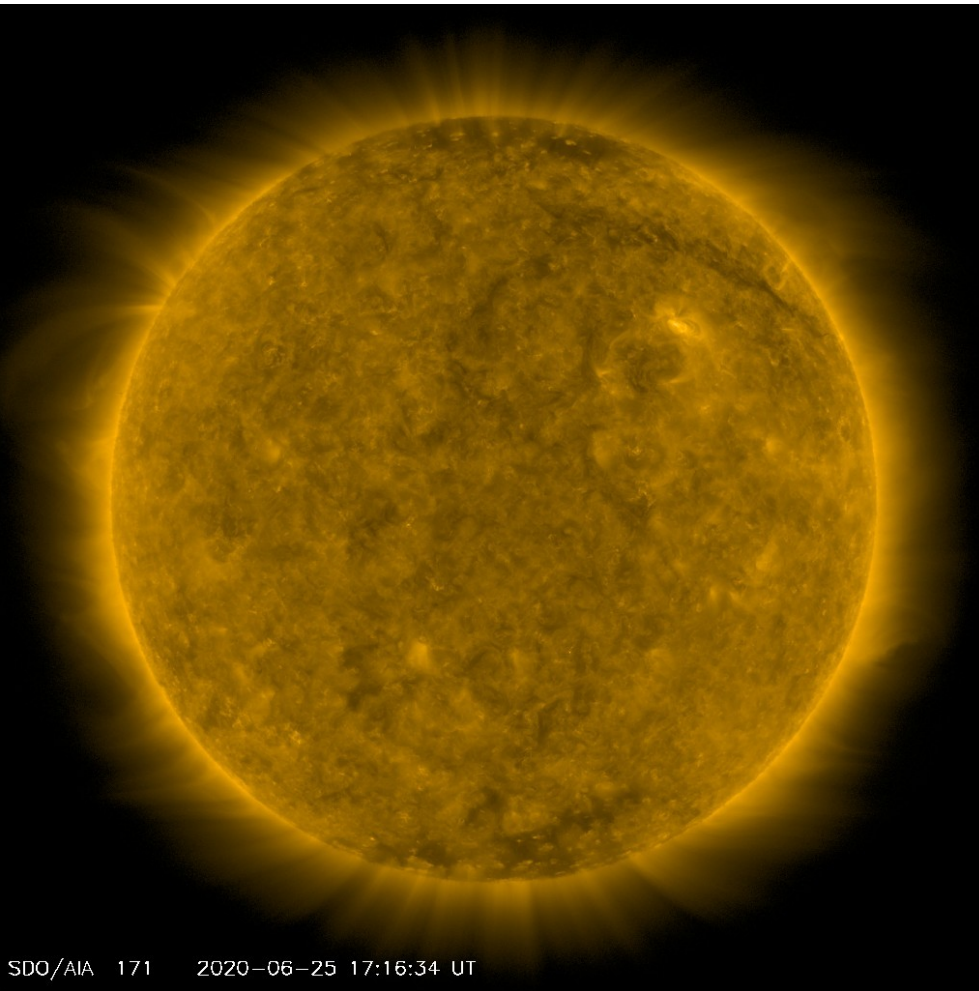
<https://sdo.gsfc.nasa.gov>

El Sol en rayos X suaves (171 Å). La emisión de Fe IX y X revela la estructura magnética en la región de la atmósfera solar llamada corona solar que se encuentra a 630,000 K.

Las regiones activas (zonas claras) son los lugares donde se presentan los fenómenos de actividad solar más importantes. Las regiones activas están regularmente asociadas a las manchas solares.

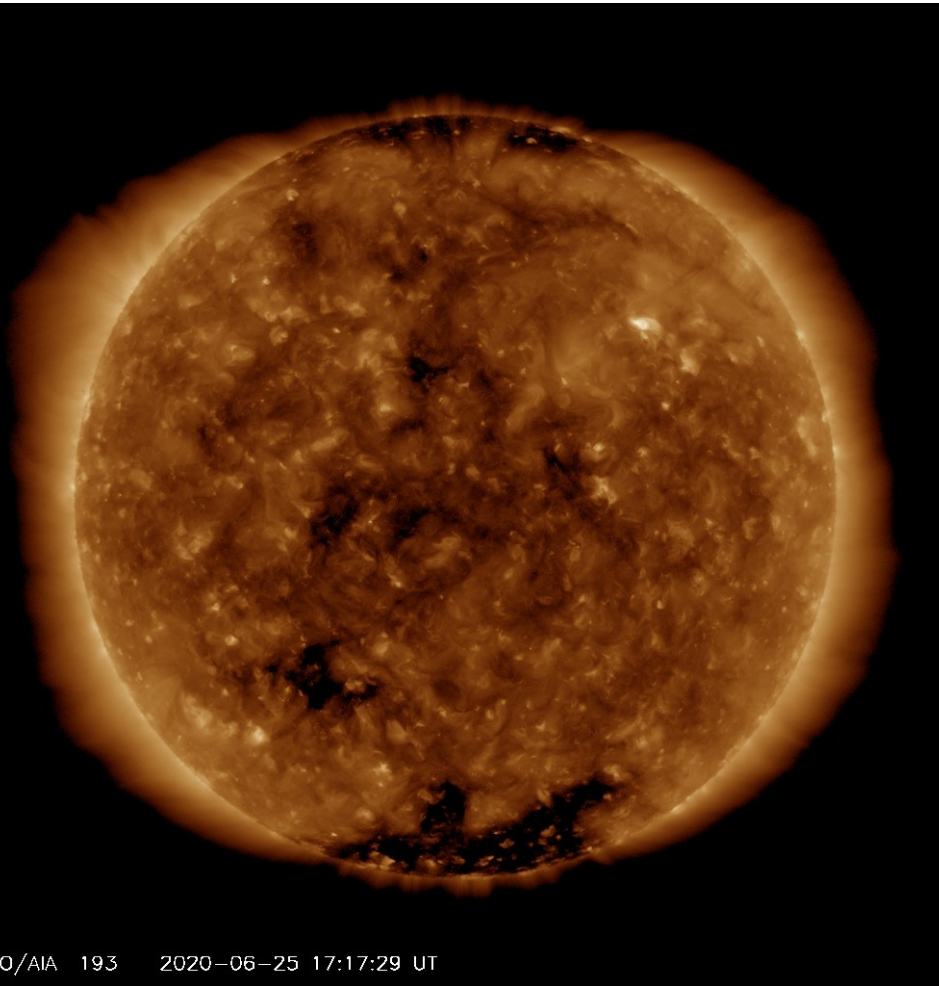
El Sol hoy (25-junio-2020):

No se observan dos regiones activas significativas.



SDO/AIA 171 2020-06-25 17:16:34 UT

<https://sdo.gsfc.nasa.gov>



El Sol en rayos X suaves (193 Å). La emisión de Fe XII revela la estructura magnética en la alta corona que se encuentra a 2,000,000 K.

Los hoyos coronales (regiones oscuras) son regiones de campo magnético solar localmente abierto. Los hoyos coronales son fuente de las corrientes de viento solar rápido.

El Sol (25-junio-2020) :

Se observan varios hoyos coronales en las zonas polares y en el centro del disco solar.

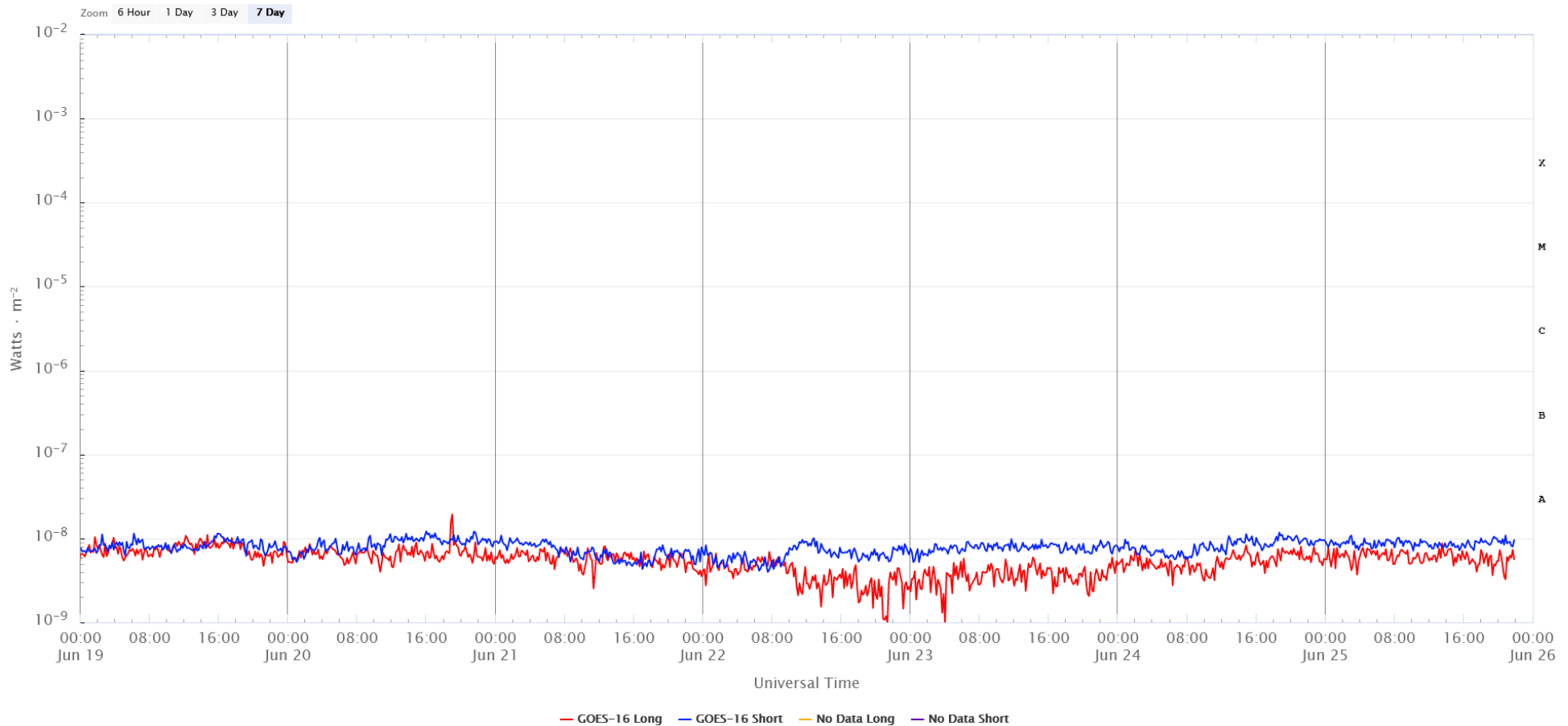
SDO/AIA 193 2020-06-25 17:17:29 UT

<https://sdo.gsfc.nasa.gov>

Actividad solar: Fulguraciones solares

Flujo de rayos X solares detectado por los satélites GOES de la NOAA.
Todas las fulguraciones fueron menores, de nivel A:

GOES X-Ray Flux (1-minute data)

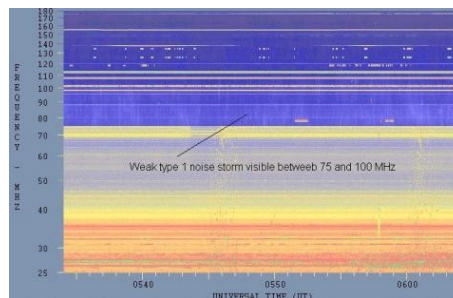


<https://www.swpc.noaa.gov/products/goes-x-ray-flux>

Tipos de estallidos de radio solares

Tipo I: Estallidos cortos y banda de emisión estrecha. Ocurren en un gran número sobre un continuo de emisión. Duración de 1 s y en tormenta de horas a días.

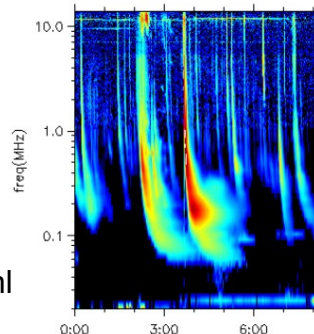
Se asocian con regiones activas, fulguraciones y protuberancias eruptivas



spaceacademy.net.au/env/sol/solradp/solradp.htm

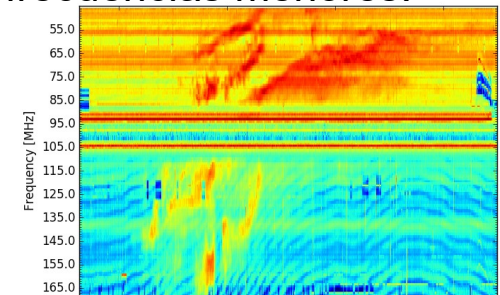
Tipo III: Estallidos de deriva rápida, con duración de pocos segundos en el rango métrico. Tienen anchos de emisión amplios. Son producidos en fulguraciones donde son expulsados a velocidades relativistas.

Se pueden presentar también como tormentas de estallidos.



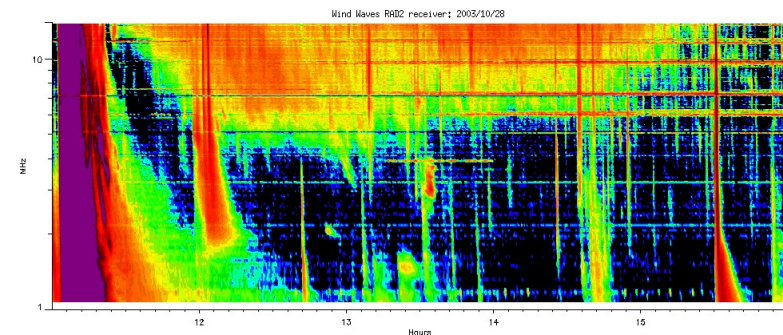
ssed.gsfc.nasa.gov/waves/data_products.html

Tipo II: Estallidos de deriva lenta. Son la firma de ondas de choque, producidas por fulguraciones o EMCs, que se propagan cerca del Sol y medio interplanetario. Presentan anchos de de emisión estrechos que derivan a frecuencias menores.



www.rice.unam.mx/callisto

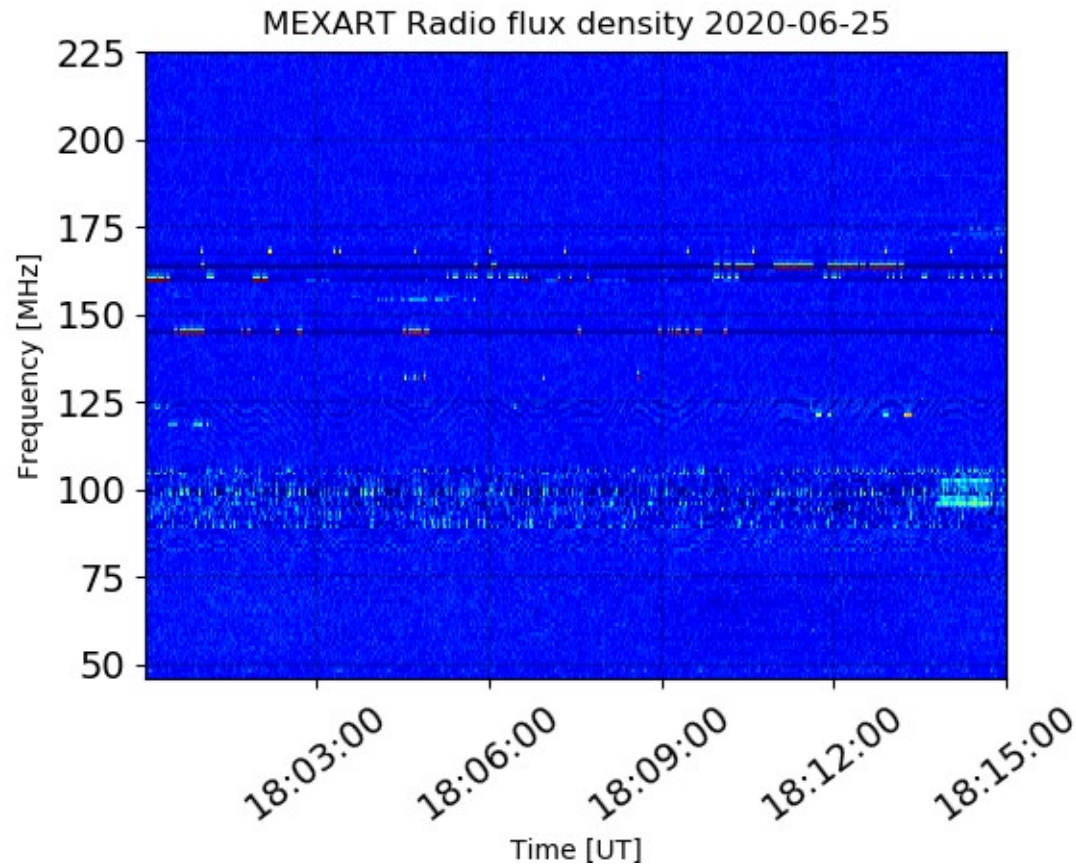
Tipo IV: Se relacionan con fulguraciones, tienen anchos de banda amplios y pueden durar horas.



https://ssed.gsfc.nasa.gov/waves/data_products.html

Estallidos de radio solares: Observaciones de Callisto-MEXART

Callisto-MEXART no detectó estallidos de radio solares esta semana.



- <http://www.rice.unam.mx/callisto/lightcurve/2020/06>

Medio interplanetario: El viento solar cercano a la Tierra

Modelo numérico WSA-ENLIL.

El modelo pronostica un ambiente solar terrestre dominado por corrientes de viento solar promedio con velocidades entre 300 y 350 km/s. La densidad no presentará variaciones significativas. No pronostica la llegada de alguna EMC para los próximos días.

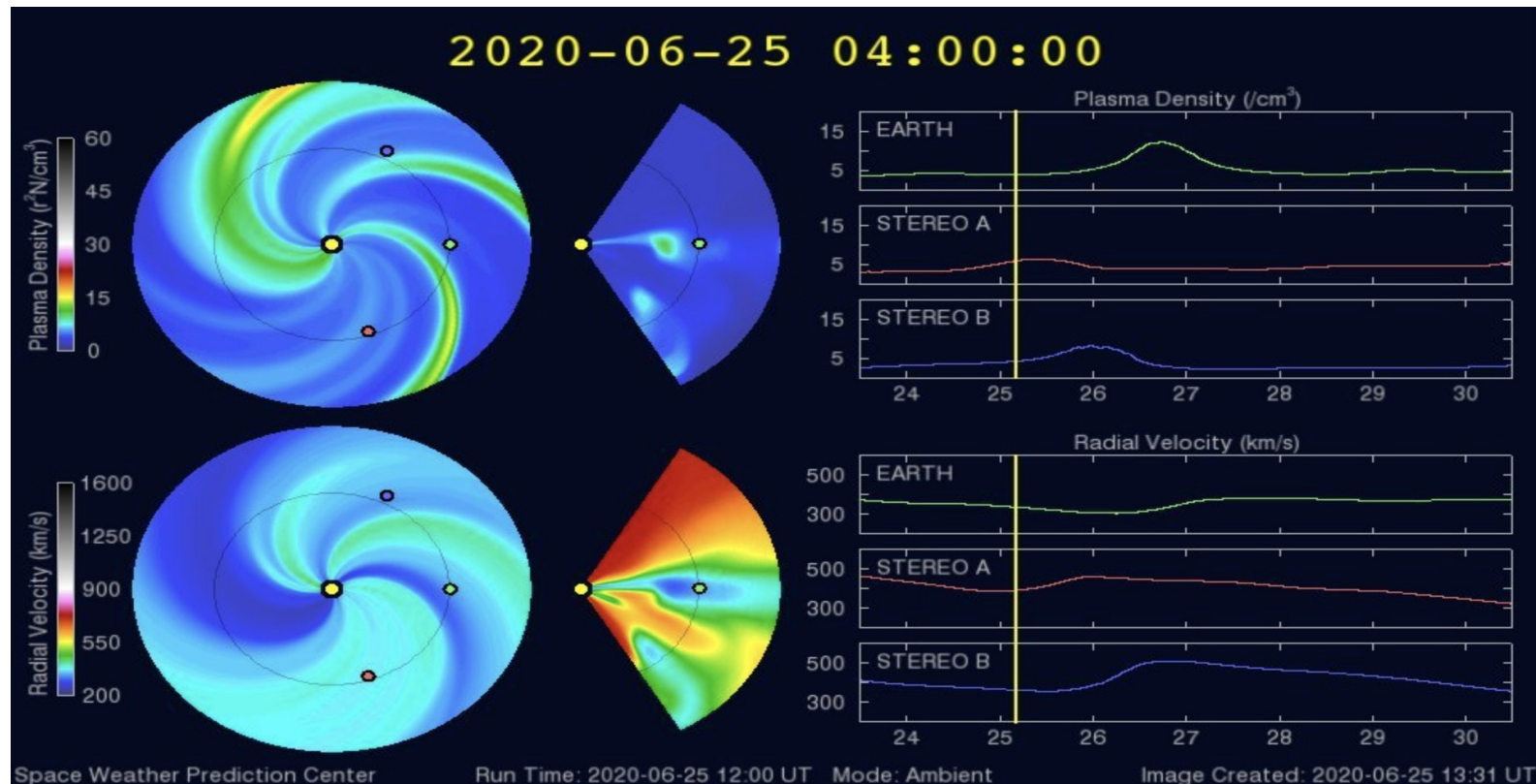
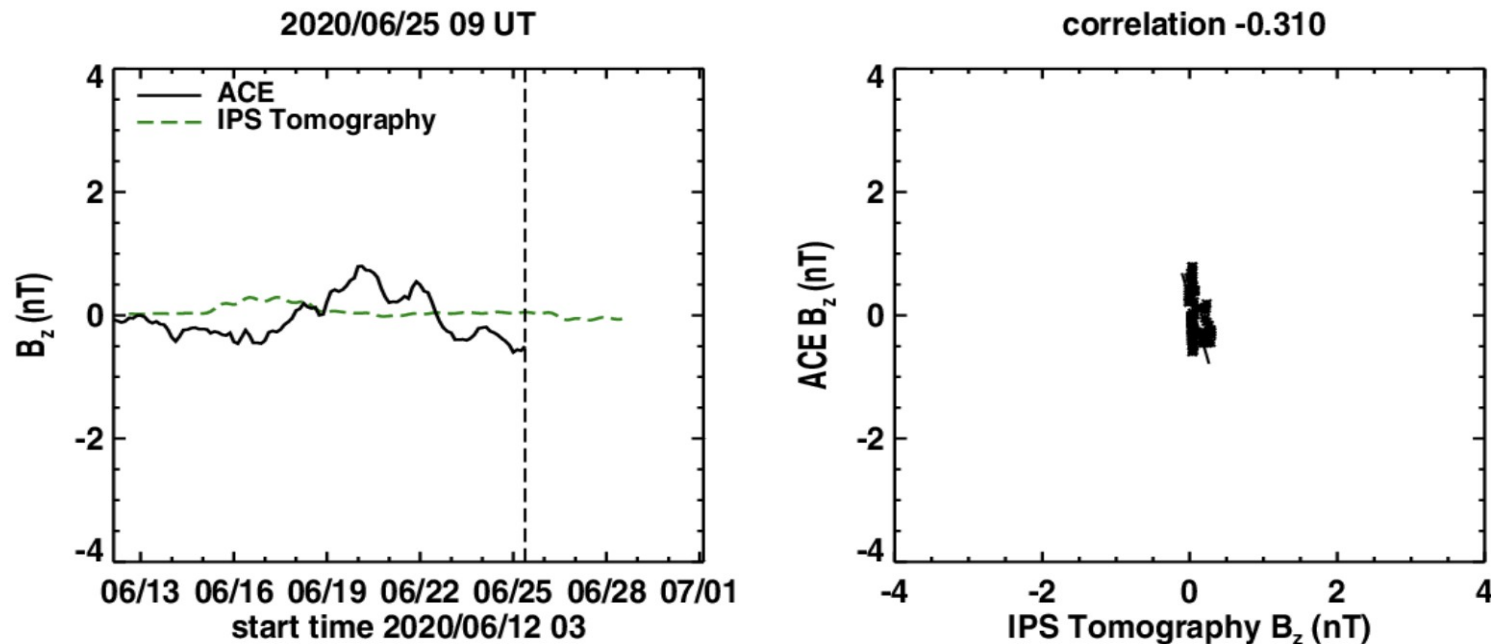


Imagen: <http://www.swpc.noaa.gov/products/wsa-enlil-solar-wind-prediction>

Medio interplanetario: El viento solar cercano a la Tierra

Pronóstico de la componente Bz del viento solar cercano a la Tierra usando la tomografía con datos IPS.

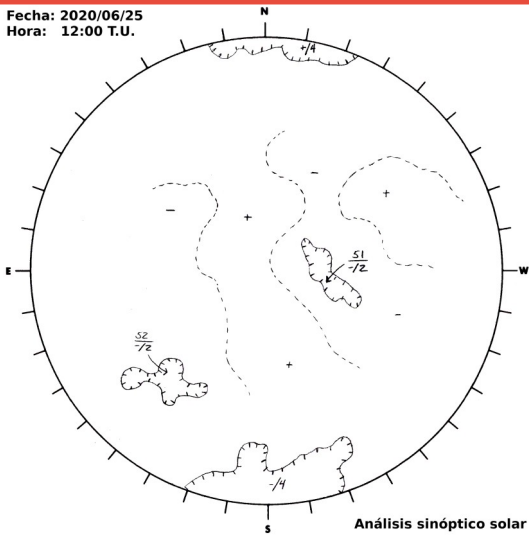


(Izquierda) Se pronostica una componente Bz que tiende a ser negativa. **(Derecha)** La comparación con las observaciones del Advanced Composition Explorer (ACE) no indican una correlación en el último pronóstico.

Imagen: http://ips.ucsd.edu/high_resolution_predictions

Medio interplanetario: Región de interacción de viento solar

Fecha: 2020/06/25
Hora: 12:00 T.U.



Esta semana no se registró región de interacción alguna (ver imagen 3). Actualmente, observamos un hoyo coronal en latitudes bajas (ver imagen 1) que puede generar una región de interacción en los siguientes días. En la imagen 2 (área sombreada en amarillo) vemos la hoja de corriente por arriba del plano de la eclíptica.

Imagen 1: ftp://ftp.swpc.noaa.gov/pub/synoptic_maps/

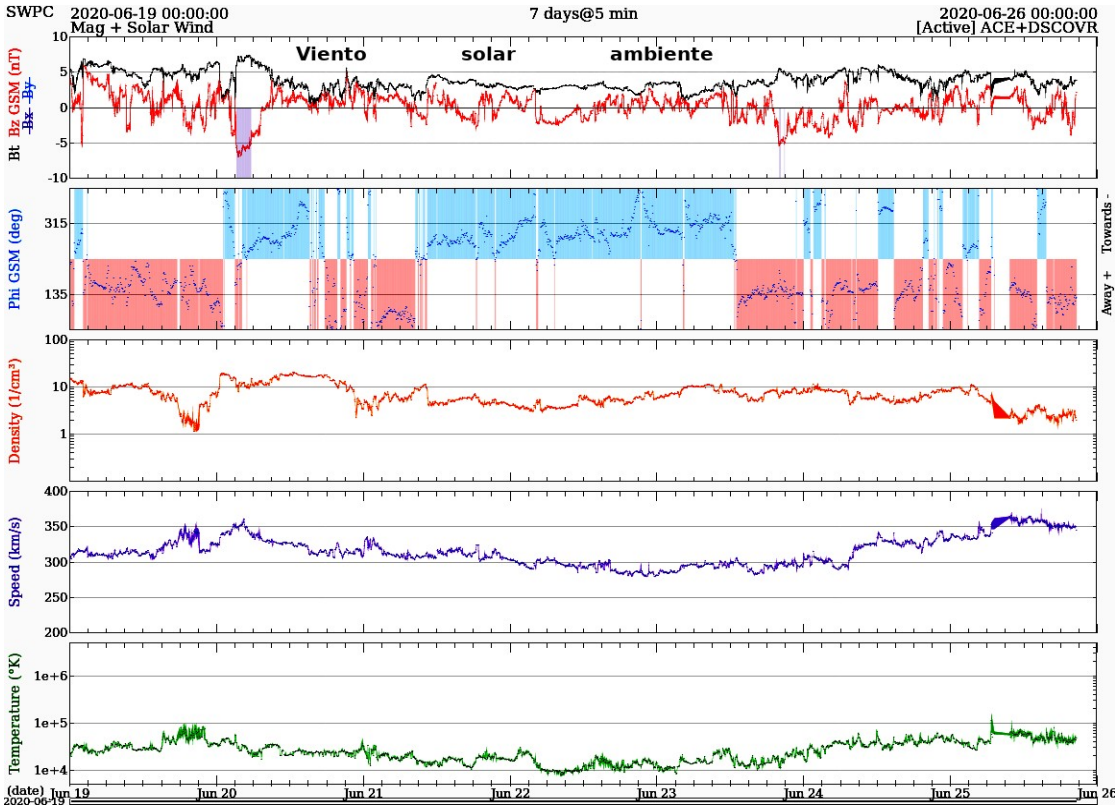


Imagen 3: <http://www.swpc.noaa.gov/products/real-time-solar-wind>

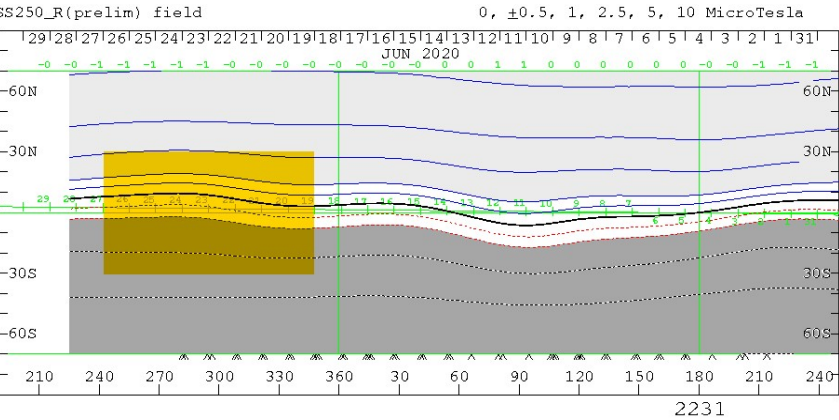
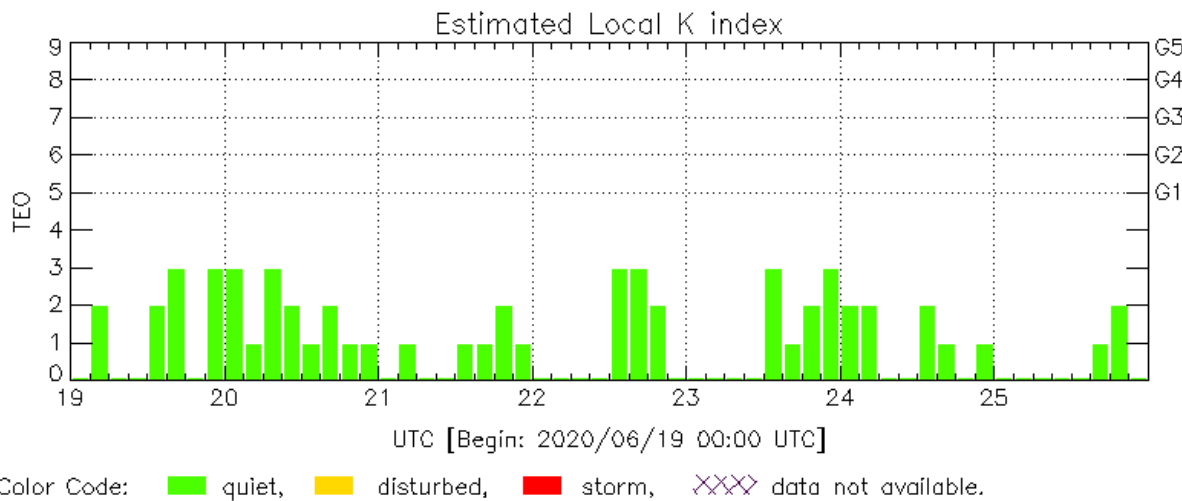


Imagen 2: <http://wso.stanford.edu/SYNOP/>

Perturbaciones geomagnéticas: Índices geomagnéticos Kp y Kmex

Imagen: <http://services.swpc.noaa.gov/images/planetary-k-index.gif>

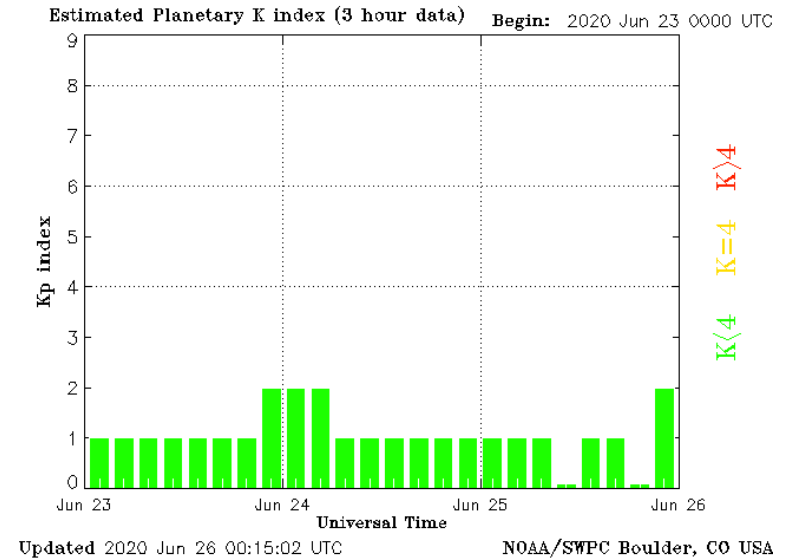
Fue una semana geomagnéticamente quieta, no se registraron perturbaciones significativas en el campo magnético.



TEO: Teoloyucan Geomagnetic Observatory (LAT 19.746, LON -99.193)

LANC/SCIESMEX - Morelia, Mich., MX

Updated: 2020/06/26-00:00 UTC

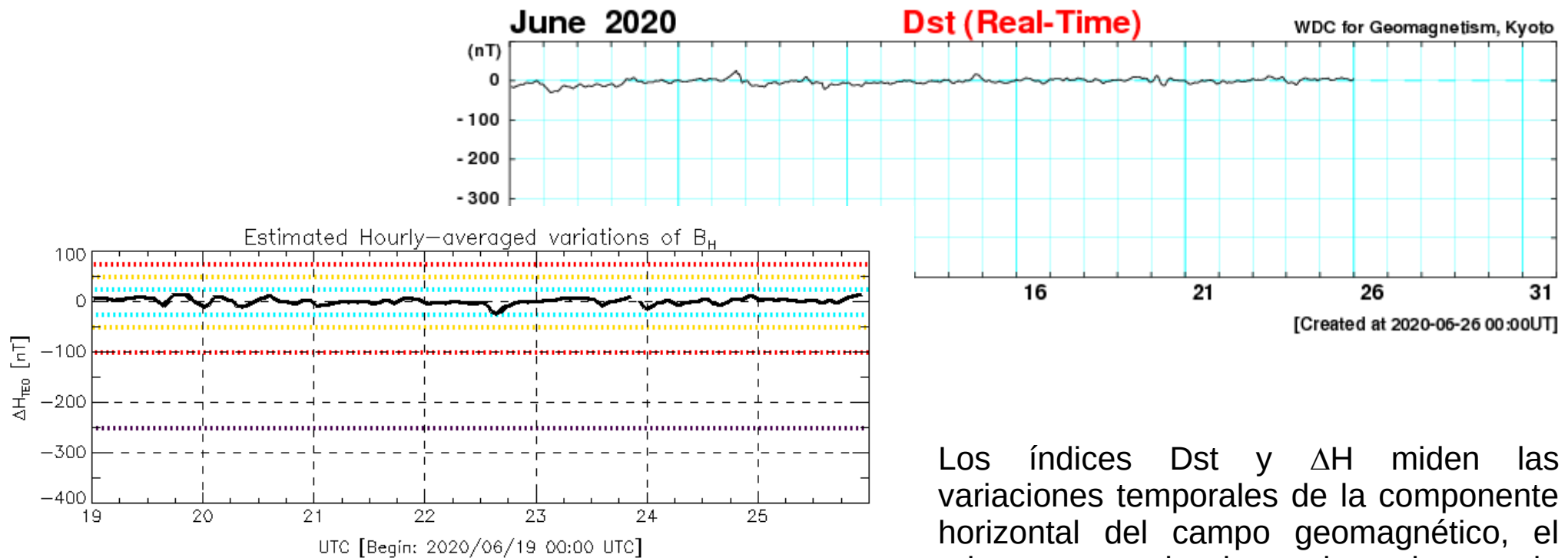


El índice K indica la intensidad de las variaciones del campo magnético terrestre en intervalos de 3 horas. El índice Kp lo expresa a escala planetaria, mientras que el Kmex lo hace para el territorio mexicano.

Perturbaciones geomagnéticas: Índice Dst y ΔH

Fue una semana quieta. No se registraron alteraciones significativas en los índices Dst y ΔH .

Imagen: http://wdc.kugi.kyoto-u.ac.jp/dst_realtime/presentmonth/index.html



Color Code: weak, moderate, intense, extreme, data not available.

TED: Teoloyucan Geomagnetic Observatory (LAT 19.746, LON -99.193)

LANC/SCIESMEX - Morelia, Mich., MX

Updated: 2020/06/26-00:00 UTC

Los índices Dst y ΔH miden las variaciones temporales de la componente horizontal del campo geomagnético, el primero a escala planetaria y el segundo para México. Estas variaciones, en general, se deben al ingreso de partículas anómalas al ambiente espacial terrestre.

Ionósfera sobre México: TEC en el centro del país (datos locales)

El contenido total de electrones (TEC) es un parámetro que sirve para caracterizar el estado de la ionosfera de la Tierra.

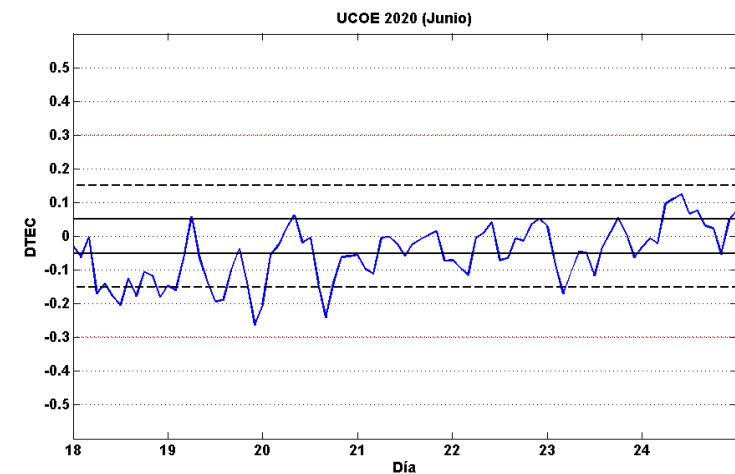
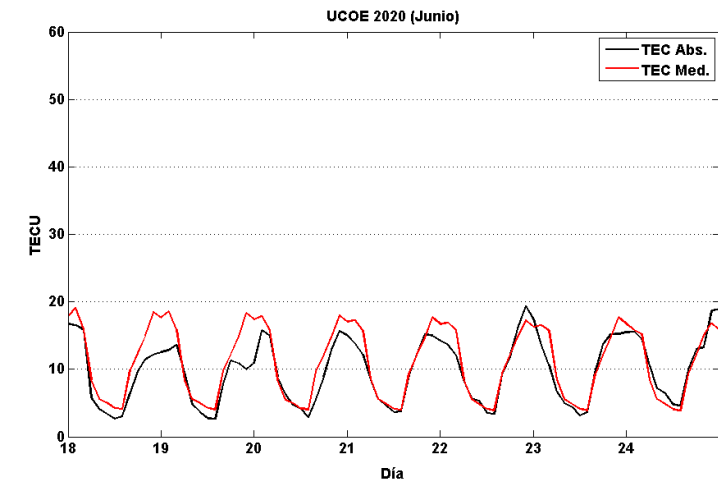
Serie temporal de los valores de TEC (negro) con referencia a su valor mediano (rojo) durante 18.06-24.06.2020 con base en los datos de la estación local UCOE (TLALOCNet, UNAVCO) en las instalaciones del Mexart.

Desviación de TEC de su mediana de los 27 días anteriores al día de observación con base en los datos de la misma estación.

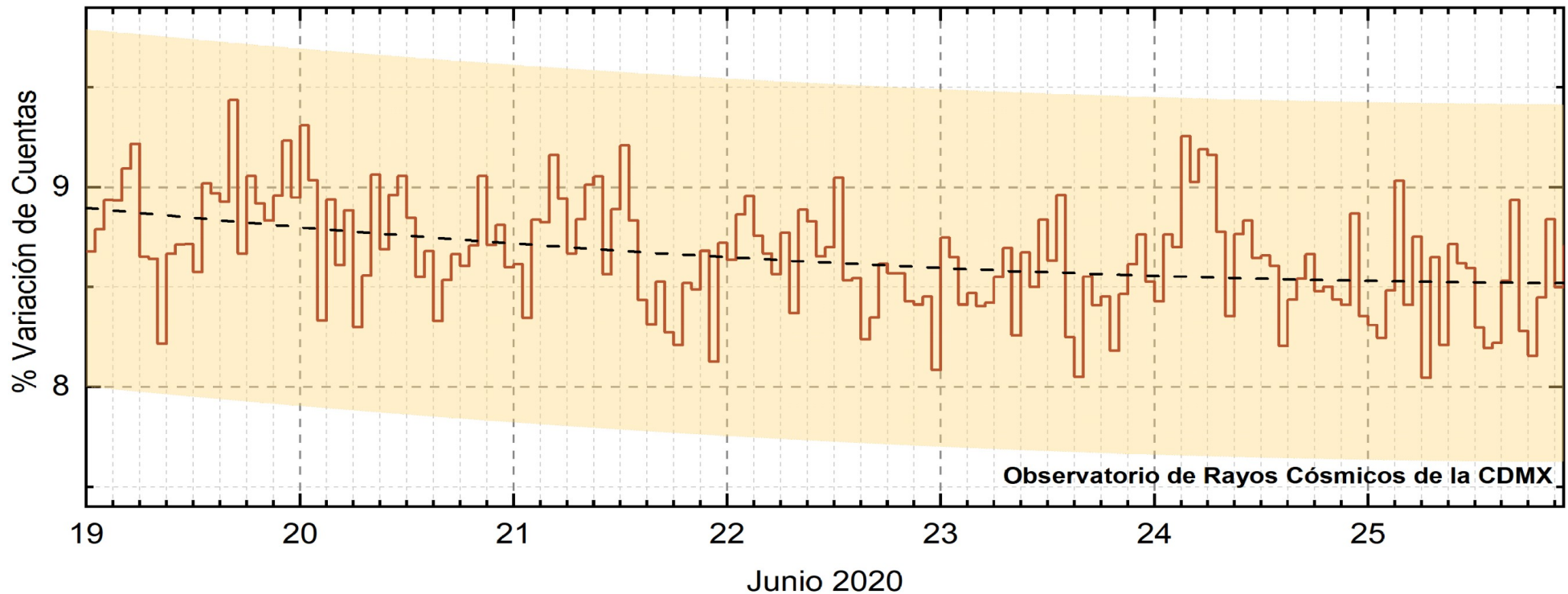
Según los datos locales, no se observaron variaciones significativas de TEC esta semana.

El cálculo se realiza en base de TayAbsTEC software del Instituto de Física Solar-Terrestre, Sección Siberiana de la Academia de Ciencias de Rusia. Referencia: Yasyukevich et al., Influence of GPS/GLONASS Differential Code Biases on the Determination Accuracy of the Absolute Total Electron Content in the Ionosphere, Geomagn. and Aeron., ISSN 0016_7932, 2015.

Referencia: Gulyaeva et al., GIM-TEC adaptive ionospheric weather assessment and forecast system. doi:10.1016/j.jastp.2013.06.011, 2013.



Rayos Cósmicos:



<http://www.cosmicrays.unam.mx/>

Datos registrados por el Observatorio de Rayos Cósmicos de la Ciudad de México. La curva discontinua negra representa el promedio de los datos registrados, el área coloreada en amarillo representa la significación de los datos ($\pm 3\sigma$). Cuando se registran variaciones que salen del área, es probable que éstas sean atribuidas a efectos de emisiones solares en el flujo de rayos cósmicos.

Del 19 al 25 de junio de 2020, no se detectaron incrementos significativos ($>3\sigma$) en las cuentas de rayos cósmicos.

UNAM/LANCE/SCIEMEX

Dr. J. Américo González Esparza
Dr. Pedro Corona Romero
Dra. Maria Sergeeva
Dr. Julio C. Mejía Ambriz
Dr. Luis Xavier González Méndez
Dr. José Juan González Avilés
Ing. Ernesto Andrade Mascote
M.C. Pablo Villanueva Hernández
Ing. Adan Espinosa Jiménez
Ing. Juan Luis Godoy Hernández
Dr. Ernesto Aguilar-Rodríguez
Dra. Verónica Ontiveros
Dra. Tania Oyuki Chang Martínez
Ing. Juan José D'Aquino
M.C. Víctor José Gatica Acevedo

UNAM ENES-Morelia

Dr. Mario Rodríguez Martínez
Dr. Víctor De la Luz Rodríguez
Lic. Shaden Saray Hernández Anaya
M.C. Raúl Gutiérrez Zalapa
Rafael Zavala Molina
Vanessa Arriaga Contreras

UNAM/PCT

Lic. Elizandro Huipe Domratheva
M.C. Víctor Hugo Méndez Bedolla
M.C. Elsa Sánchez García

UANL/LANCE

Dr. Eduardo Pérez Tijerina
Dr. Enrique Pérez León
Dr. Carlos de Meneses Junior
Dra. Esmeralda Romero Hernández

UNAM/IGF/RAYOS CÓSMICOS

Dr. José Francisco Valdés Galicia
Fis. Alejandro Hurtado Pizano
Ing. Octavio Musalem Clemente

SERVICIO MAGNÉTICO

M.C. Esteban Hernández Quintero
M.C. Gerardo Cifuentes Nava
Dra. Ana Caccavari Garza

Elaboración: Equipo SCiESMEX

Revisión: Ernesto Aguilar Rodríguez

Ing. Julio César Villagrán Orihuela

Miguel Daniel González Arias

Carlos Escamilla León

Jessica Juárez Velarde

Pablo Romero Minchaca

Eric Bañuelos Gordillo

Alfonso Iván Verduzco Torres

Alain Mirón Velázquez

Christian Armando Ayala López

Katia Lisset Ibarra Sánchez

Angel Alfonso Valdovinos Córdoba

Agradecimientos

El Laboratorio Nacional de Clima Espacial (LANCE) es parcialmente financiado por: el programa Cátedras CONACYT Proyecto 1045 y el Fondo Sectorial AEM-CONACYT proyecto 2014-01-247722. Agradecemos al proyecto Conacyt - Repositorio Institucional de Clima Espacial 268273. Agradecemos a todos los responsables y colaboradores de instrumentos del LANCE y a las redes de estaciones GPS del Servicio Sismológico Nacional y TalocNET por facilitar sus datos. Agradecemos a Gerardo Cifuentes, Esteban Hernández y Ana Caccavari por los datos del Observatorio magnético de Teoloyucan. De igual forma, agradecemos los servicios de IGS (International GNSS Service) por permitirnos usar los datos IONEX disponibles en: <ftp://cddis.gsfc.nasa.gov/pub/gps/products/ionex>. Los valores de TEC fueron obtenidos a partir de observaciones de las redes GPS del Servicio Sismológico Nacional (SSN), SSN-TLALOCNet y TLALOCNet del Servicio de Geodesia Satelital (SGS). Agradecemos al personal del SSN y del SGS por el mantenimiento de estaciones, la adquisición de datos y el soporte de IT de estas redes. Las operaciones de la red TLALOCNet y SSN-TLALOCNet GPS han sido apoyadas por The National Science Foundation bajo el proyecto EAR-1338091 a UNAVCO Inc., los proyectos CONACyT 253760 y 256012 y los proyectos UNAM-PAPIIT IN109315-3 y IN104818-3 de E. Cabral-Cano y el proyecto UNAM-PAPIIT IN111509 de R. Pérez. De igual forma agradecemos a los proyectos de infraestructura del CONACyT: 253691 y del PAPIIT-DGAPA: IA107116 para el fortalecimiento de equipos como la estación fija de GPS, que forman parte del LACIGE-UNAM, de la ENES unidad Morelia a cargo de M. Rodríguez-Martínez. El cálculo de TEC se realiza: 1) utilizando el software US-TEC que es un producto de operación del Space Weather Prediction Center (SWPC), desarrollado a través de una colaboración entre National Geodetic Survey, National Oceanic and Atmospheric Administration (NOAA) y el Cooperative Institute for Research in Environmental Sciences of the University of Boulder, Colorado, 2) con base en el software TayAbsTEC del Instituto de Física Solar-Terrestre, Sección Siberiana de la Academia de Ciencias Rusa. Parte del procesamiento de datos se lleva a cabo dentro del Centro de Supercómputo de Clima Espacial (CESCOM) del LANCE. Así mismo agradecemos al Space Weather Forecasting Center for Astrophysics & Space Research de la University of California in San Diego y al Korean Space Weather Center por los datos de pronóstico para los modelos WSA-ENLIL y los mapas tomográficos por IPS. Agradecemos a la red e-callisto por los datos proporcionados de espectros electromagnéticos dinámicos de la red internacional de registro de evento de radio solares.

Datos

Imágenes de coronógrafo, flujo de rayos X y modelo WSA-ENLIL:

<http://www.swpc.noaa.gov/products>

<http://iswa.ccmc.gsfc.nasa.gov/IswaSystemWebApp/>

Imágenes de coronógrafo:

<http://sohowww.nascom.nasa.gov/data/>

Imágenes del disco solar y de la fulguración:

<http://www.solarmonitor.org/>

Detección y caracterización de EMCs:

<http://www.sidc.oma.be/cactus/out/latestCMEs.html>

<http://spaceweather.gmu.edu/seeds/>

ISES:

<http://www.spaceweather.org/>

International Network of Solar Radio Spectrometers (e-callisto):

<http://www.e-callisto.org/>

German Research Center For Geosciences Postdam:

<http://www.gfz-potsdam.de/en/sektion/erdmagnetfeld/daten-dienst/e/kp-index/>

Data Analysis Center for Geomagnetism and Space Magnetism, Kyoto University:

<http://wdc.kugi.kyoto-u.ac.jp/index.html>

UNAVCO:

<http://www.unavco.org>

SSN:

<http://www.sismologico.unam.mx/>

SOHO Spacecraft NASA:

<http://sohowww.nascom.nasa.gov/>

SDO Spacecraft NASA:

<http://sdo.gsfc.nasa.gov/>

Space Weather Prediction Center NOAA:

<http://www.swpc.noaa.gov>

GOES Spacecraft NOAA:

<http://www.ngdc.noaa.gov/stp/satellite/goes/index.html>

ACE Spacecraft NOAA

<http://www.srl.caltech.edu/ACE/ASC/index.html>